





## องค์ประกอบทางเคมีของกําลามะพร้าว

ตาราง 7 องค์ประกอบทางเคมีของกําลามะพร้าว [32]

Proximate Analysis (%)		Ultimate Analysis (%)	
Volatile matter	78.9	Carbon	50.2
Fixed carbon	20.3	Hydrogen	6.4
Ash	0.8	Oxygen	43.4
		Nitrogen	-
		Sulfur	-

ตาราง 8 การคำนวณสูตรเคมีของกําลามะพร้าว

Substance	%	kg/(kg/mole)	Mole	mole/mole of C
C	50.2	50.2/12	4.18	1
H	6.4	6.4/1	6.4	1.53
O	43.4	43.4/16	2.71	0.65

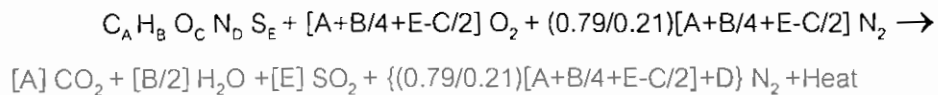
สูตรเคมีกําลามะพร้าว คือ  $\text{CH}_{1.53}\text{O}_{0.65}$



## การคำนวณหาปริมาณอากาศเผาไหม้สมบูรณ์

### การคำนวณหาปริมาณอากาศเผาไหม้สมบูรณ์

สมการเผาไหม้



ปริมาณอากาศทางทฤษฎี



เมื่อ

$$X = A + B/4 + E - C/2$$

$$X = 1 + 1.53/4 + 0 - 0.65/2$$

$$= 1.05$$



$$23.93 \quad 33.6 \quad + \quad 110.54$$

$$1 \quad \quad \quad 4.77$$

จะต้องมีอากาศ 1 kg ต้องการอากาศเผาไหม้สมบูรณ์ตามทฤษฎี 4.77 kg กำหนด

Equivalent Ratio = 0.255 [15]

$$\text{ปริมาณอากาศในการผลิตแก๊สจากจะต้องมีอากาศ 1 kg} = 0.255 \times 4.77 \\ = 1.22 \text{ kg}$$

$$\text{จะต้องมีอากาศ 1 kg ต้องการอากาศ} = 1.22 \text{ kg}$$

$$\text{ดังนั้นอัตราส่วน Air/Fuel Ratio, A/F} = 1.22/1$$

$$= 1.22 \text{ kg Air/kg Fuel}$$

$$\text{อากาศที่ } 30^\circ\text{C } 1 \text{ atm, ค่าความหนาแน่น, } \rho = 1.16 \text{ kg/m}^3$$

$$\text{ต้องการอากาศในการผลิตแก๊ส} = 1.22/1.16$$

$$= 1.05 \text{ m}^3 \text{ Air/kg Fuel}$$

ดังนั้นจะต้องมีอากาศ 1 kg จะต้องใช้ปริมาณอากาศ  $1.05 \text{ m}^3$  เพื่อเผาไหม้อย่างสมบูรณ์



## การคำนวณอัตราการไหลของอากาศ

ในการวัดอัตราการไหลของอากาศที่ป้อนให้กับเตาเผาลิตเตลสัน จะใช้เครื่องวัดอัตราการไหลแบบออริฟิส (orifice) โดยอัตราการไหลของอากาศที่ป้อนให้กับเตาสามารถคำนวณได้โดยใช้สมการดังนี้ [15]

$$Q = mc_0 \epsilon \frac{\pi D^2}{4} \sqrt{2gh}$$

$$h = \frac{(\rho' - \rho)}{\rho} \times h'$$

เมื่อ  $\rho$  = ความหนาแน่นของไนลอนห่อ (ที่ต้องการวัด) ( $\text{kg}/\text{m}^3$ )

$\rho'$  = ความหนาแน่นของเหลวที่บรรจุอยู่ในท่อชูปตัวญี่ปุ่น ( $\text{kg}/\text{m}^3$ )

$m$  = อัตราส่วนของรูเปิด,  $m = (D_o/D)^2$

$D_o$  = เส้นผ่าศูนย์กลางของรู orifice (m)

$D$  = เส้นผ่านศูนย์กลางของห่อ (m)

$C_o$  = สัมประสิทธิ์อัตราการไหล (discharge coefficient) ของออริฟิส ซึ่งขึ้นกับค่า  $m$  และตัวเลขเรย์โนล์ด์

$h$  = ผลต่างของความดัน (m)

$\epsilon$  = สัมประสิทธิ์ขดเชยการพองตัวของอากาศ

### ตัวอย่างวิธีการคำนวณ

ที่  $30^\circ\text{C}$ ,  $\rho_{air} = 1.164 \text{ kg/m}^3$

$V = 1.60 \times 10^{-5} \text{ m}^2/\text{s}$

ที่  $30^\circ\text{C}$ ,  $\rho_{water} = 997.1 \text{ kg/m}^3$

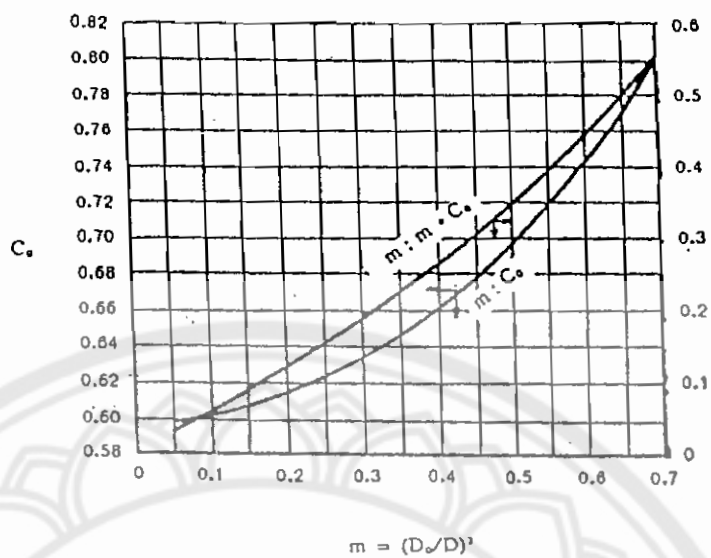
$D_o = 0.0264 \text{ m.}$

$D = 0.0527 \text{ m.}$

$m = (0.0264/0.0527)^2 = 0.25$

$C_o = 0.678$  จากญี่ปุ่น ค 1

กำหนดให้  $\epsilon = 0.95$



ภาพ 43 ความสัมพันธ์ระหว่าง  $m$  กับ  $C_o$  และระหว่าง  $m$  กับ  $mC_o$  ของออริฟิส [15]

$$h = \frac{(\rho' - \rho)}{\rho} * H' = [(997.1 - 1.164)/1.164] * 0.003 \\ = 2.567$$

แทนค่าทุกค่าลงในสมการ จะได้ดังนี้

$$Q = [0.25 \times 0.625 \times 0.95 \times \pi \times (0.0527)^2 \times (2 \times 9.81 \times 2.567)^{0.5}] / 4 \\ = 2.297 \times 10^{-3} \text{ m}^3/\text{s}$$

$\Delta P$ (m.H <sub>2</sub> O)	Q (m <sup>3</sup> /s)
0.003	$2.297 \times 10^{-3}$
0.004	$2.653 \times 10^{-3}$
0.005	$2.966 \times 10^{-3}$
0.006	$3.249 \times 10^{-3}$
0.007	$3.509 \times 10^{-3}$
0.008	$3.752 \times 10^{-3}$
0.009	$3.979 \times 10^{-3}$
0.010	$4.194 \times 10^{-3}$
0.011	$4.399 \times 10^{-3}$
0.012	$4.595 \times 10^{-3}$



ผลการทดลองการผลิตโปรดิวเซอร์แก๊สที่อัตราการไหลของอากาศต่างๆ

ตาราง 9 อัตราการไหลของอากาศ  $2.5 \times 10^{-3} \text{ m}^3/\text{s}$

Time (min)	Gas Inlet Temperature (°C)	Reduction Zone Temperature (°C)	Combustion Zone Temperature (°C)	Gas Outlet Temperature (°C)
0	37.3	31.5	31.7	39.3
20	38.2	462.7	622.7	65.8
40	37.8	504.2	919.6	105.4
60	38.1	522.1	1017.1	134.8
80	41.9	528.9	886.2	172
100	43.4	532.2	878.0	193.2
120	45.3	536.6	957.6	201.6
140	45.0	586.9	907.9	204.2
160	46.4	580.1	953.6	214.3
180	47.6	613.6	974.2	214.1
Avg	42.1	489.9	814.9	154.47

ตาราง 10 อัตราการไหลของอากาศ  $3.5 \times 10^{-3} \text{ m}^3/\text{s}$

Time (min)	Gas Inlet Temperature (°C)	Reduction Zone Temperature (°C)	Combustion Zone Temperature (°C)	Gas Outlet Temperature (°C)
0	37.3	31.5	31.7	39.3
20	38.4	466.8	1169.0	54.3
40	37.5	500.3	1008.8	97.7
60	41.7	507.0	936.6	123.2
80	42.5	544.4	969.9	140.8
100	42.9	584.7	877.2	158.1
120	42.4	588.1	946.5	165.1
140	41.7	583.9	949.4	170.4
160	42.2	662.0	923.0	191.7
180	42.8	678.3	962.7	201.2
Avg	40.9	514.7	877.5	134.18

ตาราง 11 อัตราการไหลของอากาศ  $4.5 \times 10^{-3} \text{ m}^3/\text{s}$ .

Time (min)	Gas Inlet Temperature (°C)	Reduction Zone Temperature (°C)	Combustion Zone Temperature (°C)	Gas Outlet Temperature (°C)
0	37.3	42.6	47.0	39.3
20	41.2	472.7	1078.2	55.2
40	42.1	515.3	1190.0	97.7
60	44.7	554.4	955.4	126.7
80	43.1	596.4	891.8	149.2
100	44.6	605.5	944.5	160.5
120	44.9	606.5	972.2	170.3
140	44.2	612.5	926.9	183.0
160	42.8	658.7	935.2	194.3
180	40.9	685.9	966.1	197.5
Avg	42.6	535.1	890.7	137.4



## ผลการวิเคราะห์องค์ประกอบและค่าความร้อนของโปรดิวเซอร์แก๊ส

ตาราง 12 ผลการวิเคราะห์องค์ประกอบและค่าความร้อนของโปรดิวเซอร์แก๊ส

Description	Air Flow Rate ( $m^3/s$ )		
	$2.5 \times 10^{-3}$	$3.5 \times 10^{-3}$	$4.5 \times 10^{-3}$
CO (%vol.)	27.66	23.74	20.79
H <sub>2</sub> (%vol.)	0.12	0.09	0.09
CH <sub>4</sub> (%vol.)	6.91	5.93	5.19
N <sub>2</sub> (%vol.)	41.34	49.65	55.90
High Heating Value (HHV*, MJ/Nm <sup>3</sup> )	5.74	4.92	4.31

\* At 25 °C 1 atm



ภาคผนวก ๙

ผลการทดลองการใช้โปรดิวเซอร์แก๊สในกระบวนการผลิตชาเขียวในหมู่อน

มหาวิทยาลัยนเรศวร

## ผลการทดลองการใช้ปูร์ดิวเซอร์แก๊สในกระบวนการผลิตชาเขียวใบหม่อน

ตาราง 13 ผลการทดลองการใช้ปูร์ดิวเซอร์แก๊สใช้ในกระบวนการผลิตชาเขียวใบหม่อน

Time (min)	Gas Inlet Temperature (°C)	Reduction Zone Temperature (°C)	Combustion Zone Temperature (°C)	Gas Outlet Temperature (°C)	Ambient Temperature (°C)	Water Temperature (°C)
0	36.3	36.8	33.7	35.4	33.4	32.5
20	37.9	374.1	1018.8	48.9	35.3	45.2
40	38.5	500.1	936.5	87.8	34.9	75.0
60	38.7	558.1	866.1	119.9	34.0	95.4
80	40.8	611.5	934.5	145.0	34.8	95.7
100	41.2	611.1	823.1	159.2	33.0	95.5
120	43.9	640.4	762.2	176.6	32.9	94.5
140	43.8	599.9	678.8	175.7	33.7	95.0
160	45.2	596.9	745.0	188.2	36.1	95.6
180	46.6	636.7	815.3	195.4	36.0	95.4
Avg	41.3	516.5	761.4	133.2	34.4	81.9

ตาราง 14 ผลการทดลองการใช้ปูร์ดิวเซอร์แก๊สในการบวนการคั่วชาเขียวใบหม่อน

Time (min)	Gas Inlet Temperature (°C)	Reduction Zone Temperature (°C)	Combustion Zone Temperature (°C)	Gas Outlet Temperature (°C)	Ambient Temperature (°C)	Pan Surface Temperature (°C)
0	31.3	31.8	33.7	33.4	33.4	32.5
20	38.0	360.9	1002.5	45.9	31.3	60.6
40	43.3	387.1	971.5	85.8	38.2	64.1
60	38.8	419.8	936.3	120.9	35.8	66.1
80	37.4	480.6	820.5	140.5	34.4	61.9
100	37.8	511.1	847.6	155.2	32.8	60.5
120	40.2	554.5	877.4	175.5	33.7	62.3
140	43.5	621.8	906.1	178.7	34.1	61.9
160	45.4	637.5	922.5	180.2	33.7	62.2
180	46.5	652.5	928.7	190.4	34.2	62.4
Avg	40.2	465.8	824.7	130.6	34.2	59.5

ตาราง 15 ผลการทดลองของรากท่อประปาตัวเรซอร์น์เกสในกระบวนการเผาเชื้อไว้บนชั้นดิน

Time (min)	Gas Inlet Temperature (°C)	Reduction Zone Temperature (°C)	Combustion Zone Temperature (°C)	Gas Outlet Temperature (°C)	Air Inlet Temperature (°C)	Air Outlet Temperature (°C)	Chamber Temperature (°C)	Combustion Chamber Temperature (°C)	Flue Gas Temperature (°C)	Ambient Temperature (°C)
0	37.7	32.0	39.2	33.5	36.2	32.1	33.5	32.6	35.5	30.6
10	38.8	161.0	408.6	41.1	36.9	38.2	39.6	582.5	46.8	31.4
20	39.0	295.3	891.7	47.0	38.1	40.2	67.2	577.1	65.0	31.9
30	38.5	379.0	915.7	62.1	39.7	45.6	98.6	607.4	75.8	30.6
40	38.6	403.4	871.5	74.9	45.6	51.1	102.3	651.8	81.7	31.4
50	41.1	604.6	817.6	171.5	42.2	59.0	94.4	801.3	87.0	33.4
60	40.9	617.4	877.6	184.2	46.5	61.3	95.5	769.1	89.4	36.0
70	42.9	573.1	889.3	191.9	45.2	65.8	98.6	772.9	92.6	35.3
80	42.0	578.9	826.7	199.6	48.7	69.2	100.2	766.3	96.9	31.9
90	41.3	570.2	852.6	206.7	46.7	77.8	102.3	779.8	102.2	34.2
100	40.4	631.0	918.7	211.0	51.0	82.6	104.3	789.4	103.0	32.3
Avg	40.1	568.4	864.9	177.1	43.3	56.6	85.1	648.2	79.6	32.6